

# طراحی بر اساس تغییر مکان برای سازه‌های نامنظم پیچشی با در نظر گرفتن رفتار غیرخطی در دو جهت

محمد ثابت راسخ (کارشناس ارشد)

فرهاد پهنانفر\* (دانشیار)

دانشکده‌ی هندسی عمران، دانشگاه صنعتی اصفهان

در آینه نامه‌ی موجود برای طراحی بر اساس تغییر مکان (DBD ۱۲) رابطه‌ی برای در نظر گرفتن اثرات پیچش در سازه‌ها بیان شده است. این رابطه با فرض رفتار غیرخطی در جهت اعمال حرکت زمین و رفتار خطی در جهت متعامد تنظیم شده است. در این پژوهش رابطه‌ی فوق برای حالت اعمال زلزله در دو جهت متعامد اصلاح می‌شود. به این منظور سازه‌های فولادی با تعداد طبقات معمول (۳ و ۱۰ طبقه)، خروج از مرکزیت‌های مختلف با سیستم قاب خمشی و رفتار غیرخطی تحت رکوردهای ۱۱ زلزله تحلیل می‌شوند. مقادیر چرخش طبقات برای زلزله‌های مختلف محاسبه شده و در نتیجه رابطه‌ی آینه نامه با اعمال ضرایب اصلاح مناسب برای اثر زلزله با دو مؤلفه‌ی افقی متعامد اصلاح می‌شود. در این تحقیق نشان داده شده که مقادیر دقیق زاویه‌ی پیچش طبقه می‌توانند تا در برابر مقادیر حاصل از روابط آینه نامه باشد. این در حالی است که با استفاده از رابطه‌ی اصلاح شده در این تحقیق، بیشترین اختلاف نسبی این دو دسته مقادیر به کمتر از ۱۰٪ کاهش می‌یابد.

**واژگان کلیدی:** طراحی بر اساس تغییر مکان، ساختمان پیچشی، DBD ۱۲، تحلیل دینامیکی غیرخطی، اصلاح.

## ۱. مقدمه

در رویکردهای طراحی مستقیم مبتنی بر تغییر مکان، ابتدا بر اساس عملکرد مورد نیاز برای سازه، تغییر مکان هدف (بیشینه تغییر مکانی که سازه قادر به تحمل آن است) تعیین می‌شود. سپس سازه‌ی مربوطه به یک سیستم یک درجه آزادی معادل تبدیل شده و خصوصیات سازه‌ی جایگزین به وسیله‌ی سختی سکانتی در جا به جایی بیشینه و میرالی معادل (مجموع میرالی کشسانی و هیسترزیس) بیان می‌شود. با در دست داشتن سختی و جا به جایی سیستم یک درجه آزادی، برش پایه به راحتی حساب شده و پس از توزیع مناسب بین طبقات و با تحلیل سازه تحت این نیروها، طراحی اعضا انجام می‌شود.

در روش‌های طراحی بر اساس نیرو، استفاده از فرضیاتی مانند سختی اولیه و ضریب کاهش نیروی ثابت (بدون توجه به ابعاد و مشخصات اعضا و ... و صرفاً بر اساس سیستم سازه‌ی) باعث می‌شود برش پایه و به تبع آن نیروهای داخلی اعضا ارتباط مستقیمی با عملکرد درخواستی نداشته باشند. این در حالی است که در روش‌های مبتنی بر تغییر مکان با استفاده از تغییر مکان هدف، سختی سکانتی به جای سختی اولیه و با حذف ضریب رفتار، محدودیت‌های ذاتی روش نیرویی تا حد زیادی برطرف شده است.

روش‌های طراحی مبتنی بر تغییر مکان عمدتاً بر پایه‌ی روش «سازه‌ی جایگزین»<sup>[۱]</sup> که نخستین بار توسط شیبانا و سزن پیشنهاد شد<sup>[۲]</sup> بنا شده است. همچنین تحقیقات

به طور کلی بارهای واردہ بر سازه‌های متدالوی به دو دسته بارهای ثقلی و جانی تقسیم می‌شود. برای تحلیل سازه تحت نیروی جانی، روش‌های گوناگونی همچون روش‌های مبتنی بر نیرو و بر اساس عملکرد پیشنهاد شده است. از آن‌جا که «تغییر مکان» پارامتر مناسبی برای تعیین عملکرد است، روش‌های طراحی مبتنی بر تغییر مکان در رسته‌ی روش‌های طراحی مبتنی بر عملکرد، از اهمیت ویژه‌ی برخوردار است.

امروزه برای تحلیل و طراحی سازه‌ها تحت بار جانی، غالباً از روش‌های نیرویی استفاده می‌شود. در این روش‌ها ابتدا با فرض ابعاد و سختی کشسانی (عمدتاً سختی اولیه) اعضا بار بار، زمان تناوب سازه تخمين زده می‌شود. در ادامه برش پایه محاسبه شده و پس از اعمال ضریب کاهش نیرو، برش پایه‌ی اصلاح شده بین اعضا توزیع و اعضا بر اساس این نیروها طراحی و در انتها جا به جایی‌های سازه کنترل می‌شود. در صورتی که جا به جایی‌ها جواب‌گو نباشد، دستورالعمل مشخصی برای اصلاح طراحی وجود ندارد و مراحل طراحی باید دوباره و با فرضیات جدید تکرار شود.

\* نویسنده مسئول

تاریخ: دریافت ۱۶/۱۱/۱۳۹۶، اصلاحیه ۲۳/۳/۲۳، پذیرش ۱۳۹۷/۴/۲۳

DOI:10.24200/J30.2018.5713.2269

منجر شده و در سازه‌های کوتاه مرتبه، منجر به طرح اقتصادی‌تری در مقایسه با روش نیرویی مرسوم شده است. گیلمور و گارسیا به مقایسه‌ی عملکرد لرزه‌یی سیستم دوگانه‌ی قاب خمشی فولادی مهاربندی شده که یک بار بر اساس نیرو و بار دیگر بر اساس تغییر مکان طراحی شده بود، پرداختند.<sup>[۱۲]</sup> و مزایای استفاده از طراحی مبتنی بر تغییر مکان را طرح کردند.

همچنین وگا و کوالسکی در زمینه‌ی پاسخ‌های مختلفی مانند تغییر مکان نسبی طبقه، کرنش نهایی و شکل‌پذیری ساختمان‌های بتی، مقایسه‌ی بین روش طراحی مبتنی بر تغییر مکان و طراحی مبتنی بر نیرو انجام دادند.<sup>[۱۳]</sup> در این تحقیق ۶ سازه‌ی قاب خمشی بتن آرمه با تعداد طبقات ۴ تا ۱۲، با روش تغییر مکان طراحی شده و سپس تحلیل تاریخچه‌ی زمانی غیرخطی تحت اعمال ۷ شتاب نگاشت سازگار انجام شده است. مطابق مشاهدات محققین، مقدار متوسط تغییر مکان نسبی طبقه‌ی محاسبه شده توسط آین نامه‌های روش نیرو اختلاف فاحشی با متوسط تغییر مکان نسبی طبقه‌ی حاصل از تحلیل تاریخچه زمانی غیرخطی داشته ولی در مردم سازه‌های طرح شده با روش تغییر مکان، تغییر مکان‌های نسبی سازه تا حد بسیار زیادی به تغییر مکان‌های طراحی نزدیک است.

در ادامه، کاربرد روش طراحی مبتنی بر تغییر مکان توسط محققین به سازه‌های مختلفی تعیین داده شد. در همین راستا روشی برای تعیین ابعاد و مشخصات اولیه‌ی اعضا در روش طراحی مبتنی بر تغییر مکان برای سازه‌های بتی ارائه شد.<sup>[۱۴]</sup> که طی آن سازه‌ها به دو دسته‌ی کنتل شونده با تغییرشکل نسبی طبقات و کنتل شونده با شکل‌پذیری تقسیم شد؛ برای تعیین جزئیات اولیه نیز دو روش طراحی بر اساس مقاومت و طراحی بر اساس سختی مورد استفاده قرار گرفت. همچنین بولاند و عامور در مورد استفاده از روش طراحی مبتنی بر تغییر مکان برای سازه‌های بتن آرمه مطالعات جامعی انجام دادند.<sup>[۱۵]</sup> ملک‌پور و همکاران این روش را برای طراحی قاب‌های فولادی منظم گسترش دادند.<sup>[۱۶]</sup> همچنین ملک‌پور و دشتی از این روش در طراحی انفع مختلف سازه‌های بتی بهره برده‌اند.<sup>[۱۷]</sup> مطابق این تحقیق استفاده از روش طراحی مبتنی بر تغییر مکان برای قاب‌های خمشی بتن آرمه، سیستم‌های دوگانه‌ی قاب خمشی و دیوار بشی بتی و همچنین قاب‌های بتی با مهاربند فولادی بسیار مؤثر است. روش طراحی مبتنی بر تغییر مکان برای ساختمان‌های فولادی با مهاربند واگرا توسعه سولیوان مورد بررسی قرار گرفته است.<sup>[۱۸]</sup> در این تحقیق چگونگی استفاده از این روش در سیستم سازه‌یی مذکور به تفصیل بیان شده و سپس مثال‌هایی از کاربرد آن در سازه‌های منظم ۱ تا ۱۵ طبقه ارائه شده است. نتایج تحقیق نشان داده که استفاده از DBD در این سیستم سازه‌یی از مزایای بسیاری برخوردار است.

با گسترش تحقیقات انجام شده در حوزه‌ی طراحی تغییر مکانی، پریستالی و همکاران کتاب جامعی در این زمینه منتشر کردند.<sup>[۱۹]</sup> متعاقب آن، نخستین آین نامه‌ی پیشنهادی برای طراحی بر اساس تغییر مکان (DBD<sup>۹</sup>) در سال ۲۰۰۹ منتشر شد.<sup>[۲۰]</sup> ویرایش دوم این آین نامه با عنوان DBD<sup>۱۲</sup> نیز در سال ۲۰۱۲ منتشر شد.<sup>[۲۱]</sup>

پائولی برای نخستین بار این روش را برای ساختمان‌های پیچشی مورد استفاده قرار داد.<sup>[۲۲]</sup> در نتیجه‌ی فعالیت‌های او، پیشنهاد شد اثر پیچش با اصلاح تغییر مکان هدف در محاسبات دخیل شود. می‌توان گفت اساس رایطه‌ی ارائه شده در آین نامه DBD<sup>۱۲</sup> برای سازه‌های پیچشی برگرفته از همین تحقیق است. مازا اثر نامنظمی در پلان<sup>[۲۳]</sup> را در طراحی بر اساس تغییر مکان بررسی کرد. همچنین او و همکارانش اثر نامنظمی در ارتفاع<sup>[۲۴]</sup> را در طراحی بر اساس تغییر

گولکان و سزن در مورد ارائه‌ی روابطی برای میرایی و سختی سازه‌ی یک درجه آزادی معادل با سازه‌ی چند درجه آزادی، کمک شایانی در پیدا آمدن این روش کرده است.<sup>[۲۵]</sup> کوالسکی و همکاران در سال ۱۹۹۴ در قالب گزارشی، روند طراحی لرزه‌یی مبتنی بر تغییر مکان را که برای سازه‌های بتی یک درجه آزادی توسعه داده شده بود<sup>[۲۶]</sup> بیان کردند. همچنین پریستالی و کوالسکی مراحل گام به گام طراحی سازه‌های بتی بر اساس تغییر مکان را با ارائه‌ی مثال‌های کاربردی تشریح کردند.<sup>[۲۷]</sup> مدهکار و کنندی، نظریه و کاربرد روش طراحی مبتنی بر تغییر مکان را در دو نوشتار جداگانه مفصل تشریح کردند.<sup>[۲۸]</sup> آنها در نوشتار اول در مورد محدودیت‌های روش طراحی بر اساس نیرو که در آین نامه‌های متداول کاربرد دارد، بحث کرده و به مزایای طراحی مبتنی بر تغییر مکان پرداختند. در این نوشتار همچنین چگونگی استفاده از این روش در سازه‌های چند درجه آزادی تشریح شده است. ایشان در نوشتار دوم برای نخستین بار این روش را در طراحی یک سازه‌ی فولادی اعمال کرده و نتایج را با روش نیرویی مقایسه کردند. در این تحقیق دو سازه‌ی ۲ و ۸ طبقه‌ی فولادی، با مهاربند همگرای فولادی طراحی و تحلیل قرار گرفت. از جمله نتایج این تحقیق اهمیت بیشتر شکل‌پذیری طلب مهاربند در مقایسه با مقدار تغییر مکان نسبی هدف سقف طبقات است. همچنین در این تحقیق، لزوم پژوهش در رابطه با طیف تغییر مکان، روابط محاسبه‌ی میرایی معادل و کاربرد روش تغییر مکانی در دیگر سیستم‌های برابر جانبه‌ی فولادی مورد تأکید قرار گرفته است.

چوپرا و گوئل اثر استفاده از طیف طرح ارتجاعی را در مقابل استفاده از طیف طرح غیرارتجاعی در طراحی مبتنی بر تغییر مکان، مورد بررسی و مقایسه قرار دادند.<sup>[۲۹]</sup> آنها نشان دادند که استفاده از طیف غیرارتجاعی برای محاسبه‌ی بیشینه واکنش سیستم یک درجه آزادی معادل به برآورد دقیق تری از تغییر مکان و ضربی شکل‌پذیری این سیستم انجام می‌دهد و به طرز مطمئن‌تری به کنتل بیشینه دوران خمیری سیستم می‌انجامد.

ژو و چن روش طراحی مبتنی بر تغییر مکان را به عنوان شاخه‌ی از روش‌های طراحی بر اساس عملکرد توسعه دادند.<sup>[۳۰]</sup> در مطالعه‌ی ژو، چگونگی استفاده از طیف ظرفیت، در این ارتباط بررسی شد که به موجب آن دیگر نیاز به استفاده از سازه‌ی معادل با رفتار خطی نبود و مستقیماً سازه با رفتار غیرخطی مورد مطالعه و طراحی قرار گرفت.<sup>[۳۱]</sup> با توجه به اهمیت طیف تغییر مکان در طراحی بر اساس تغییر مکان، تاکنون تحقیقات بسیاری به منظور مطالعه‌ی این موضوع انجام شده است. از این میان تحقیق بورزی و همکاران مورد اشاره است.<sup>[۳۲]</sup> در این تحقیق پس از انتخاب ۳۶۴ رکورد زاکله با بزرگای متفاوت که روی خاک‌های مختلف ثبت شده بود، طیف‌های تغییر مکان غیرکشسانی برای دو مدل رفتاری الاستوپلاستیک کامل و سخت‌شدگی - نرم‌شدگی هیسترزس ترسیم شده است. همچنین به منظور ایجاد امکان مقایسه‌ی عوامل گوناگون تأثیرگذار بر طیف‌های ترسیم شده، اثر بزرگای زلزله، جنس خاک و فاصله از محل، روی شکل و دامنه‌ی طیف مورد بررسی قرار گرفته است.

پس از توسعه‌ی اولیه‌ی روش «طراحی مبتنی بر تغییر مکان»، لزوم مقایسه‌ی این روش با روش نیرویی بیش از پیش احساس شد. بر همین اساس، رحمان و سریتان روش‌های نیرویی و تغییر مکانی را به صورت ویژه برای ساختمان‌های پیش‌ساخته‌ی پس‌کشیده‌ی بتی با سیستم دیوار برشی مقایسه کردند.<sup>[۳۳]</sup> بر این اساس استفاده از روش طراحی مبتنی بر تغییر مکان در طراحی سازه‌های پیش‌ساخته‌ی پس‌کشیده به نحو مناسبی متضمن رسیدن سازه به سطح عملکردی مورد نظر است. همچنین استفاده از این روش در این تحقیق به برش پایه‌ی کمتری در مقایسه با روش نیرویی

که در آن  $\theta$  ضریب کاهش جابه‌جایی برای در نظر گرفتن اثر مودهای بالاتر،  $\Delta$  تغییر مکان جانبی تراز  $\theta$  در حالت حدی (یا سطح عملکرد) مورد نظر (در اینجا: اینمی جانبی)،  $N_{\theta}$  زاویه‌ی پیچش تراز  $\theta$  در هنگام بیشینه جابه‌جایی طبقه و  $x_{CP-CM}$  فاصله‌ی بین سیستم باربر بحرانی و مرکز جرم طبقه است. برای تعیین  $\theta$  در سازه‌های قاب خمشی، آین نامه رابطه‌ی ۲ را ارائه کرده است:

$$\Delta_{i,Ls} = \frac{(4H_n - h_i)}{(4H_n - h_1)} \cdot \theta_c h_i \quad (2)$$

که در آن  $h_i$  ارتفاع تراز  $\theta$  از تراز پایه،  $H_n$  ارتفاع کل سازه و  $\theta_c$  نسبت تغییر مکان نسبی طبقه‌ی مجاز است. همچنین،  $\theta$  برای سازه‌های تا ۶ طبقه برابر واحد بوده و برای سازه‌های ۱۶ طبقه به بالا مساوی ۸۵٪ است. برای حالات بینایی از درون‌بابی خطی استفاده می‌شود.

زاویه‌ی پیچش طبقه،  $\theta_{N,i}$  از تقسیم لنگر پیچشی طبقه بر سختی پیچشی آن به دست می‌آید:

$$V_i = \frac{V_i \cdot e_R}{J_{R,\mu}} \quad (3)$$

که در آن  $V_i$  برش طبقه (موازی  $z$ )،  $e_R$  خروج از مرکزیت (فاصله مرکز جرم و سختی) و  $J_{R,\mu}$  سختی پیچشی طبقه است که از رابطه‌ی ۴ قابل محاسبه است:

$$J_{R,\mu} = \sum_1^m \frac{k_{xj}}{\mu_j} \cdot d_{xj} + \sum_1^n k_{yj} \cdot d_{yj} \quad (4)$$

که در آن  $x$  و  $y$  محورهای پلان بوده و زلزله در راستای  $x$  وارد می‌شود. همچنین،  $m$  و  $n$  تعداد سیستم‌های باربر جانبی در تراز  $\theta$  به ترتیب در امتداد  $x$  و  $y$  بوده و  $k_{xj}$  و  $k_{yj}$  سختی جانبی سیستم باربر زام در تراز  $\theta$  در دو امتداد فوق است.  $d_{xj}$  و  $d_{yj}$  به ترتیب فاصله‌ی سیستم باربر زام واقع در امتداد موازی  $x$  و  $y$  از مرکز سختی طبقه بوده و  $\mu_j$  ضریب شکل‌پذیری موردنیاز برای سیستم باربر جانبی زام واقع در امتداد موازی زلزله است که آن را می‌توان پس از محاسبه‌ی ضریب شکل‌پذیری مؤثر طبقه گام چهارم با قضاؤت مهندسی تعیین کرد؛ مثلاً می‌توان  $\mu_j$  را مساوی ۰.۷ فرض کرد.

در اینجا دو نکته قابل ذکر است:

۱. طبق رابطه‌ی ۴، آین نامه فرض کرده که در ساختمان پیچشی رفتار غیراترجاعی فقط در امتداد زلزله ایجاد شده و رفتار در امتداد عمود بر آن ارجاعی است. این در حالی است که به علت وجود هم‌زمان مؤلفه‌ی معتمد، رفتار می‌تواند به طور هم‌زمان در هر دو جهت غیرخطی باشد. بنابراین چنین فرضی نمی‌تواند صحیح باشد و باید به نحوی نسبت به اصلاح آن اقدام شود.

۲. برای محاسبه‌ی زاویه‌ی پیچش طبقه، طبق رابطه‌ی ۳ لازم است از برش طبقه و طبق رابطه‌ی ۴ از شکل‌پذیری موردنیاز استفاده شود که در ابتداء معلوم نیستند. بنابراین محاسبات برای ساختمان‌های پیچشی به صورت تکرارشونده خواهد بود. طوری که در دور اول، زاویه‌ی پیچش در رابطه‌ی ۱ مساوی صفر فرض می‌شود. پس از محاسبه‌ی نیروهای جانبی و برش طبقات در انتهای محاسبات دور اول (رابطه‌ی ۱۶)، زاویه‌ی پیچش هر طبقه طبق رابطه‌ی ۳ تعیین شده و محاسبات مطابق رابطه‌ی ۱ مجدداً تکرار می‌شود.

با توجه به تحقیقات انجام پذیرفته، اغلب مقالات موجود در دو دسته‌ی کلی بیان فلسفه و نظری روش طراحی مبتنی بر تغییر مکان و کاربرد این روش برای سازه‌های دو بعدی با سیستم‌های باربر مختلف تقسیم‌بندی می‌شود. کاربرد این روش برای ساختمان‌های نامتقارن سه بعدی با عملکرد پیچشی ناشی از پیچش فقط در است. علاوه بر این در آین نامه مربوطه، اثر رفتار غیرخطی هم‌زمان سازه در دو راستای معتمد صرف نظر شده است. با توجه به رفتار غیرخطی هم‌زمان سازه در دو راستای معتمد در زلزله‌های قوی، اصلاح ضوابط تحلیل پیچش در آین نامه لازم به نظر می‌رسد. انجام این کار هدف این پژوهش است.

## ۲. تحلیل و طراحی سازه‌ها بر اساس تغییر مکان

در رویکرد مورد بحث، با تکیه بر بیشترین تغییر مکان، یا خسارت مورد انتظار از سازه در زلزله طرح، با طی مراحلی برش پایه محاسبه شده و در ارتفاع توزیع می‌شود. سپس سازه تحت این نیروها تحلیل و طراحی می‌شود. چنان که مشاهده می‌شود، روال کار مشابه آین نامه‌های سنتی نیرویی است اما تفاوت اصلی در چگونگی محاسبه برش پایه خواهد بود. در آین نامه‌های نیرویی، تغییر مکان پارامتری است که در انتهای روند طراحی، کترل می‌شود و تحلیل به صورت خطی است. بر عکس، در طراحی بر اساس تغییر مکان، تغییر مکان طرح بر پایه خسارت قابل قبول از ابتداء انتخاب شده و برش پایه متناسب با آن با تحلیل غیرخطی شبه استاتیکی سازه‌ی مکانیکی به دست می‌آید. در این روش برای محاسبه‌ی برش پایه، ابتدا بسته به میران خسارت یا سطح عملکرد مورد قبول، مقدار تغییر مکان نسبی متناظر که در فصل دوم آین نامه ۱۲ DBD برای انواع سازه‌ها و سطوح عملکرد ارائه شده، انتخاب می‌شود. پس از آن تغییر مکان هر طبقه به صورت تابعی از تغییر مکان نسبی و ارتفاع طبقه محاسبه می‌شود. روابط مربوطه در فصل ششم آین نامه برای سازه‌های مختلف از جمله سازه‌های موضوع این تحقیق ارائه شده است. برای سازه‌های پیچشی، در مرحله‌ی بعد با محاسبه‌ی زاویه‌ی پیچش هر طبقه، تغییر مکان متناظر در سیستم‌های باربر طبقه اصلاح می‌شود. سپس با استفاده از مقادیر فوق، مشخصات سازه‌ی یک درجه آزادی معادل برای سیستم باربر بحرانی محاسبه شده و با استفاده از طیف طرح تغییر مکان، زمان تناوب و سختی مؤثر سازه با احتساب رفتار غیرخطی استخراج می‌شود. با استفاده از این مقادیر، به راحتی می‌توان برش پایه سازه را محاسبه کرد.

در ادامه، روابط آین نامه‌ی مربوط به مراحل فوق به صورت گام به گام ارائه می‌شود:

گام ۱. تعیین نسبت تغییر مکان نسبی طبقه مجاز یا طرح: با توجه به آین نامه مقدار نسبت تغییر مکان نسبی طرح تعیین می‌شود. این مقدار برای سازه‌های مورد بررسی در سطح اینمی جانبی برابر  $25\%$  خواهد بود.

گام ۲. تعیین تغییر مکان جانبی سیستم باربر بحرانی در هر طبقه: در سازه‌های پیچشی، سیستم باربر بحرانی در هر طبقه معمولاً دورترین سیستم باربر جانبی از مرکز جرم طبقه در سمت مرکز مقاومت (موسوم به مرکز سختی در محاسبات ارجاعی) است. تغییر مکان جانبی این سیستم در تراز سقف طبقه‌ی  $\theta$  (یا خلاصه: تراز  $\theta$ ) از رابطه‌ی ۱ به دست می‌آید:

$$\Delta_i = \omega_\theta \Delta_{i,Ls} - \theta_{N,i} \cdot x_{CP-CM} \quad (1)$$

محاسبه‌ی برش پایه: دراین مرحله برش پایه ( $V_b$ ) با صرف نظر از اثر  $\Delta$  از رابطه‌ی ۱۵ قابل محاسبه است:

$$V_b = K_e \Delta_e \quad (15)$$

گام ۹. محاسبه‌ی نیروی جانبی معادل ( $F_i$ ) در هر طبقه، که آینه نامه روابط داده شده در قالب رابطه‌ی ۱۶ را برای سازه‌های قاب خمشی ارائه کرده است:  
برای تمام طبقات به جز طبقه‌ی آخر:

$$F_i = \frac{V_b}{\sum_{j=1}^N m_j \Delta_j} \quad (1-16)$$

برای طبقه‌ی آخر:

$$F_N = \frac{V_b}{\sum_{j=1}^N m_j \Delta_j} + \frac{V_b}{\sum_{j=1}^N m_j \Delta_j} (m_N \Delta_N) \quad (2-16)$$

نقطه‌ی اثر نیروهای جانبی فوق در مرکز جرم هر طبقه است.

گام ۳. محاسبه‌ی تغییر مکان مؤثر،  $\Delta_e$ ، جرم مؤثر،  $m_e$  و ارتفاع مؤثر،  $H_e$  سیستم یک درجه آزادی معادل: در این محاسبه از روابط ۵ تا ۷ استفاده می‌شود:

$$\Delta_e = \frac{\sum_{i=1}^N m_i \Delta_i^2}{\sum_{i=1}^N m_i \Delta_i} \quad (5)$$

$$m_e = \frac{\sum_{i=1}^N m_i \Delta_i}{\Delta_e} \quad (6)$$

$$H_e = \frac{\sum_{i=1}^N m_i \Delta_i h_i}{\sum_{i=1}^N m_i \Delta_i} \quad (7)$$

که در آن  $m_i$  جرم طبقه  $i$  و  $N$  عدد طبقات است.

گام ۴. تعیین ضریب شکل پذیری مؤثر ( $\mu_e$ ) از رابطه‌ی ۸ قابل محاسبه است.

$$\mu_e = \Delta_e / \Delta_y \quad (8)$$

در این رابطه معرف تغییر مکان مؤثر تسلیم است که از رابطه‌ی ۹ محاسبه می‌شود.

$$\Delta_y = H_e \cdot \theta_y \quad (9)$$

در این رابطه  $\theta_y$  نسبت تغییر مکان نسبی طبقه‌ی تسلیم است که طبق آینه نامه، برای قاب‌های خمشی فولادی از رابطه‌ی ۱۰ محاسبه می‌شود:

$$\theta_y = 0,65 \varepsilon_y L_b / h_b \quad (10)$$

که در آن  $L_b$  و  $h_b$  به ترتیب طول متوسط دهانه‌های قاب و ارتفاع متوسط مقطع تیرهای طبقه است. همچنین،  $\varepsilon_y$  کرنش تسلیم فولاد است.

گام ۵. تعیین نسبت میرایی مؤثر،  $\zeta_e$ : طبق آینه نامه، برای قاب‌های خمشی فولادی می‌توان از رابطه‌ی ۱۱ استفاده کرد:

$$\zeta_e = \frac{\mu_e - 1}{\pi \mu_e} = 0,05 + 0,577 \quad (11)$$

گام ۶. تعیین زمان تناوب مؤثر  $T_e$  از رابطه‌ی ۱۲ قابل محاسبه است:

$$T_e = \left( \frac{\Delta_e}{\Delta_D} \right) \cdot T_D \quad (12)$$

که در آن  $T_D$  زمان تناوب گوشش (نقطه‌ی شروع بخش مسطح) طیف طرح تغییر مکان بوده و  $\Delta_D$  تغییر مکان بیشینه در طیف طرح تغییر مکان برای زمان تناوب‌های بزرگ‌تر از  $T_D$  به ازای نسبت میرایی مؤثر است که از رابطه‌ی ۱۳ تعیین می‌شود:

$$\Delta_e = \left( \frac{0,07}{0,02 + \zeta_e} \right)^{0,5} \quad (13)$$

که در آن،  $0,05 \Delta$  تغییر مکان بیشینه در طیف طرح تغییر مکان برای زمان تناوب‌های بزرگ‌تر از  $T_D$  به ازای نسبت میرایی  $0,05$  است. لازم به ذکر است که طیف طرح تغییر مکان به ازای نسبت میرایی  $0,05$  را می‌توان با تقسیم کردن طیف طرح شتاب بر مجدد فرکانس در هر نقطه به دست آورد.

گام ۷. محاسبه‌ی سختی مؤثر سیستم یک درجه آزادی ( $K_e$ ) از رابطه‌ی ۱۴ محاسبه می‌شود.

$$k_e = \frac{4 \pi^2 m_e}{T_e^2} \quad (14)$$

جدول ۱. کمیت های اصلی تحلیل بر اساس تغییر مکان.

| $T_e(sec)$ | $\zeta_e$ | $\mu_e$ | $\Delta_y(m)$ | $\Delta_e(m)$ | تعداد طبقه | تغییر مکان مؤثر | نسبت میرایی مؤثر | ضریب شکل پذیری | زمان تناوب مؤثر |
|------------|-----------|---------|---------------|---------------|------------|-----------------|------------------|----------------|-----------------|
| ۲,۵۸       | ۰,۱۴۸     | ۲,۲۱    | ۰,۰۹          | ۰,۱۹۸         | ۴          |                 |                  |                |                 |
| ۴,۰۹       | ۰,۱۵۲     | ۲,۳۳    | ۰,۱۳۹         | ۰,۳۲۳         | ۷          |                 |                  |                |                 |
| ۵,۴۶       | ۰,۱۵۸     | ۲,۵     | ۰,۱۷۵         | ۰,۴۳۹         | ۱۰         |                 |                  |                |                 |

جدول ۲. مشخصات زلزله های مورد استفاده.

| نام زلزله             | بزرگا (ریشتر) | PGA (g) | سال و قوع |
|-----------------------|---------------|---------|-----------|
| San Fernando          | ۶,۶۱          | ۰,۴۳    | ۱۹۷۱      |
| Irpinia, Italy – ۰۱   | ۶,۹۰          | ۰,۱۳    | ۱۹۸۰      |
| Loma Prieta           | ۶,۹۳          | ۰,۵۱    | ۱۹۸۹      |
| Cape Mendocino        | ۷,۰۱          | ۰,۳۷    | ۱۹۹۲      |
| Chi – Chi, Taiwan     | ۷,۶۲          | ۰,۳۳    | ۱۹۹۹      |
| Duzce, Turkey         | ۷,۱۴          | ۰,۰۵    | ۱۹۹۹      |
| Landers               | ۷,۲۷          | ۰,۳۰    | ۱۹۹۲      |
| Niigata, japan        | ۶,۶۳          | ۰,۳۳    | ۲۰۰۴      |
| Chuetsu – Oki, Japan  | ۶,۸۰          | ۰,۶۱    | ۲۰۰۷      |
| Iwate, Japan          | ۶,۹۰          | ۱,۰۴    | ۲۰۰۸      |
| Darfield, New Zealand | ۷             | ۰,۲۳    | ۲۰۱۰      |

مزبور و اعمال اثر رفتار غیرخطی هم زمان در هر دو جهت است. با توجه به عدم اعمال اثر هم زمانی در رابطه‌ی ۵، پیش‌بینی می‌شود که زاویه‌ی پیچش محاسبه شده طبق رابطه‌ی ۳ دارای خطای زیادی باشد. به این ترتیب لازم است زاویه‌ی پیچش طبقه از رابطه‌ی ۳ محاسبه شده و با میانگین مقادیر حاصل از تحلیل دینامیکی غیرخطی مقایسه شود. این محاسبه در این تحقیق انجام شده و نتایج حاصل در شکل‌های ۱ تا ۱۵ نشان داده شده‌اند. همان‌گونه که دیده شود، اختلاف زیادی بین مقادیر حاصل از رابطه‌ی آینین نامه با نتایج تحلیل دینامیکی غیرخطی وجود دارد. این موضوع، پیش‌بینی قلبی را در مورد این اختلاف تایید می‌کند. برای اصلاح روال طراحی میانگین بر تغییر مکان، لازم است این اختلاف به نحوی برطرف شود.

## ۵. اصلاح رابطه‌ی محاسبه‌ی زاویه‌ی پیچش طبقه

ابتدا لازم است برآورد شود شدت رفتار غیرخطی در دو جهت متعامد به چه نسبت است. برای این کار سازه‌ها تحت هر دو مؤلفه‌ی متعامد افقی زلزله‌ها به طور هم زمان قرار داده می‌شوند. برای هر سازه تحت هر زلزله، مجموع مقادیر مطلق چرشش مفاصل خمیری اعضا سازه در هر لحظه در هر راستا محاسبه می‌شود. بیشینه‌ی این مقدار بین لحظات مختلف در هر زلزله برای هر سازه در هر راستا استخراج شده و میانگین آن بین زلزله‌های مختلف در هر دو راستا محاسبه می‌شود. دو کمیت ذکر شده در بالا برای هر سازه در خروج از مرکزیت‌های مختلف محاسبه شده و نتایج آن در جداول ۳ تا ۵ برحسب رادیان بیان شده است. به طور دلخواه، شتاب‌نگاشت با PGA بزرگتر در راستای X وارد شده است. از جداول ۳ تا ۵ دو نتیجه‌ی مهم گرفته می‌شود. اولاً پیش‌بینی وجود رفتار غیرخطی قابل توجه در امتداد عمود بر جهت مؤلفه‌ی بزرگ‌تر زلزله مطابق با واقعیت است. ثانیاً به نحو جالبی نسبت رفتار غیرخطی در دو راستا برای موارد مطالعه شده

اهم مقادیر به دست آمده طبق بند ۲ برای خروج از مرکزیت صفر به شرح جدول ۱ است. لازم به ذکر است که طبق محاسبات انجام شده، خروج از مرکزیت تأثیر چندانی در مقدار این کمیت‌ها ندارد.

برش پایه‌ی رابطه‌ی ۱۵ برای سازه‌های ۴، ۷ و ۱۰ طبقه به ترتیب مساوی ۴۵۶، ۴۹۸ و ۵۸۵ کیلونیوتون تعیین شده است. مقاطع تیرها برای سازه‌ی ۴ طبقه از IPE۴۰۰ تا IPE۳۳۰ و برای سازه‌های ۷ و ۱۰ طبقه تا IPE۴۰۰ به دست آمده است. همچنین، مقاطع ستون‌ها برای سازه‌ی ۴ طبقه از Box ۲۰۰۰ × ۱۷,۵ و برای سازه‌های ۷ و ۱۰ طبقه تا Box ۳۴۰ × ۱۷,۵ حاصل شده است.

## ۴. تحلیل دینامیکی غیرخطی

### ۱.۴. مدل‌سازی غیرخطی

برای مدل‌سازی و تحلیل غیرخطی سازه‌ها از نرم‌افزار OpenSees استفاده شده است. در این مدل، هریک از تیرها و ستون‌ها در دوازه‌های خود به یک فنر چرخشی غیرخطی متمرکز (به طول صفر) ختم می‌شوند. رفتار غیرخطی این فنر با فرض تشکیل مقطع عرضی عضواز تعداد زیادی تار (با فایبر) طولی از جنس فولاد St37 با رفتار دوخطی در کشش به دست می‌آید. مشخصات این رفتار دوخطی مشابه رفتار میلگردی‌های فولادی در نواحی ارجاعی و خمیری است.

### ۲.۴. شتاب‌نگاشت‌های مورد استفاده

در این مطالعه از ۱۱ جفت شتاب‌نگاشت استفاده شده که طبق آین‌نامه‌های جاری، [۲۶] حداقل تعداد لازم برای انجام تحلیل دینامیکی غیرخطی و استفاده از میانگین نتایج است. برای استخراج داده‌ها از پایگاه ایسترنی PEER [۲۷] استفاده شد که در آن بزرگ‌ترین زلزله‌ها از ۶,۵ تا ۷,۵ کیلومتر و خاک از نوع ۳ در نظر گرفته شد. به این ترتیب ۵۷ زلزله استخراج شد که تعداد آنها با دو معیار کاهش داده شد. یکی این که از داده‌های فقط یک ایستگاه (با حداکثر شتاب بزرگ‌تر) برای هر زلزله استفاده شود و دیگر این که برای هر سازه از ۱۱ رکوردي استفاده شود که ضریب مقیاس آنها به یک نزدیک تر است.

ضریب مقیاس برای هر زلزله و سازه عبارت است از عددی که اگر در میانگین طیف‌های پاسخ زلزله‌ها ضرب شود، طیف حاصل در هیچ نقطه‌ی در بازه  $0/2T$  تا  $1/5T$  پایین‌تر از طیف طرح قرار نگیرد که در آن  $T$  زمان تناوب مورد نظر است. [۲۶] ضریب مقیاس زلزله‌ها برای هر سه ساختمان بین  $1/4$  تا  $1/5$  به دست آمده و زلزله‌های مربوطه طبق جدول ۲ است. لازم به ذکر است که با اعمال معیارهای فوق، زلزله‌های یکسانی برای هر سه ساختمان با اندازی تفاوت در برخی ایستگاه‌ها به دست آمده است.

با توجه به بحث ارائه شده پس از رابطه‌ی ۴، تمرکز این تحقیق بر اصلاح رابطه

جدول ۳. میانگین بیشینه‌ی مجموع قدرمطلق چرخش مفاصل خمیری در دو راستا و نسبت آن‌ها، سازه‌ی ۴ طبقه.

| $e = \%^{30}$ | $e = \%^{20}$ | $e = \%^{15}$ | $e = \%^{10}$ | $e = \%^5$ | $e = \%^0$ |          |
|---------------|---------------|---------------|---------------|------------|------------|----------|
| ۰,۲۴۸         | ۰,۲۵۸         | ۰,۲۶۳         | ۰,۲۶۸         | ۰,۲۸۳      | ۰,۲۷۳      | راستای x |
| ۰,۱۸۶         | ۰,۱۸۶         | ۰,۱۹۰         | ۰,۱۹۵         | ۰,۲۰۷      | ۰,۲۰۱      | راستای y |
| ۰,۷۵          | ۰,۷۲          | ۰,۷۲          | ۰,۷۳          | ۰,۷۳       | ۰,۷۴       | y/x      |

جدول ۴. میانگین بیشینه‌ی مجموع قدرمطلق چرخش مفاصل خمیری در دو راستا و نسبت آن‌ها، سازه‌ی ۷ طبقه.

| $e = \%^{30}$ | $e = \%^{20}$ | $e = \%^{15}$ | $e = \%^{10}$ | $e = \%^5$ | $e = \%^0$ |          |
|---------------|---------------|---------------|---------------|------------|------------|----------|
| ۰,۷۸۴         | ۰,۷۸۴         | ۰,۷۷۷         | ۰,۷۶۹         | ۰,۷۹۰      | ۰,۸۰۷      | راستای x |
| ۰,۵۰۸         | ۰,۴۹۳         | ۰,۵۰۵         | ۰,۵۱۷         | ۰,۵۷۴      | ۰,۶۰۵      | راستای y |
| ۰,۶۵          | ۰,۶۳          | ۰,۶۵          | ۰,۶۷          | ۰,۷۳       | ۰,۷۵       | y/x      |

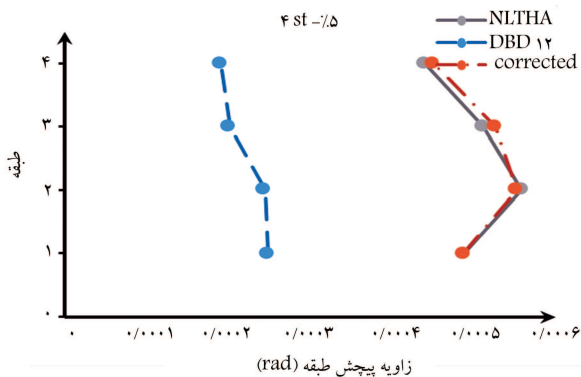
جدول ۵. میانگین بیشینه‌ی مجموع قدرمطلق چرخش مفاصل خمیری در دو راستا و نسبت آن‌ها، سازه‌ی ۱۰ طبقه.

| $e = \%^{30}$ | $e = \%^{20}$ | $e = \%^{15}$ | $e = \%^{10}$ | $e = \%^5$ | $e = \%^0$ |          |
|---------------|---------------|---------------|---------------|------------|------------|----------|
| ۰,۷۵۸         | ۰,۷۷۴         | ۰,۷۸۷         | ۰,۸۲۸         | ۰,۸۶۹      | ۰,۸۹۳      | راستای x |
| ۰,۵۶۳         | ۰,۵۵۴         | ۰,۵۵۹         | ۰,۵۸۹         | ۰,۶۱۹      | ۰,۶۵۶      | راستای y |
| ۰,۷۴          | ۰,۷۱          | ۰,۷۱          | ۰,۷۱          | ۰,۷۲       | ۰,۷۳       | y/x      |

که در آن  $b$  بعد پلان عمود بر زلزله است. به این ترتیب طبقه رابطه‌ی ۱۹ برای هر طبقه ضریب اصلاح متفاوتی به دست خواهد آمد. با استفاده از برازش مقادیر آین نامه‌ی زاویه‌ی پیچش با مقادیر دقیق حاصل از تحلیل دینامیکی غیرخطی (رجوع به شکل‌های ۱ تا ۱۵)، مقادیر زیر برای ضرایب  $d - a$  به دست می‌آید.

$$a = -0/071, b = 0/385, c = -0/065, d = 1 \quad (21)$$

در شکل‌های ۱ تا ۱۵، اثر تکیبی اصلاحات رابطه‌ی محاسبه‌ی زاویه‌ی پیچش طبقه روابط ۱۷ و ۱۸ نشان داده شده است. در نمودارهای زیر، مقدار خروج از مرکزیت به صورت بر چسب شکل ذکر شده و NLTHA به مفهوم تحلیل دینامیکی غیرخطی است. همان‌طور که در نمودارهای فوق دیده می‌شود، رویکرد پیشنهادی برای اصلاح رابطه‌ی پیچش آین نامه برای محاسبه‌ی زاویه‌ی پیچش طبقه موفقیت‌آمیز بوده و خطای موجود را به حد قابل قبولی کاهش داده است.



شکل ۱. اثر اصلاح زاویه‌ی پیچش طبقه؛ سازه‌ی ۴ طبقه با خروج از مرکزیت ۵٪.

تغییرات بسیار کمی دارد و بیشینه‌ی آن در حدود ۷۵٪ است. در این مطالعه، همین نسبت برای ضریب شکل‌بندی دو راستای متعامد در نظر گرفته می‌شود. بنابراین پیشنهاد می‌شود رابطه‌ی ۴ چنین اصلاح شود:

$$J_{R,\mu} = \sum_1^m \frac{k_{xj}}{\mu_j} \cdot d_{xj} + \sum_1^n \frac{k_{yj}}{0/75\mu_j} \cdot d_{yj} \quad (17)$$

از سوی دیگر، در رابطه‌ی ۳ به این نکته‌ی مهم توجه نشده که هم‌زمان با ورود سازه به ناحیه غیرخطی در حین واکنش دینامیکی، مقدار خروج از مرکزیت آن نیز افزایش می‌باید. از آنجایی که ساختمان‌های مورد مطالعه قاب‌های خمشی ویژه‌ی هستند که مرکز مقاومت و سختی آنها بر مرکز سطح طبقه منطبق بوده و مرکز جرم در یک سمت پلان است، قاب‌های واقع در سمت مرکز جرم زودتر وارد ناحیه غیرخطی می‌شوند. در نتیجه مرکز مقاومت به سمت دیگر پلان جابجا شده و مقدار خروج از مرکزیت افزایش می‌باید و پیچش طبقه تشدید می‌شود. در آین نامه‌های نیرویی به این نکته با اعمال ضریب تشدید پیچش تصادفی توجه شده است. هرچه تعداد طبقات (و در نتیجه تعداد مفاصل خمیری) و نسبت خروج از مرکزیت بیشتر باشد، این اثر بیشتر مشهود خواهد بود.

با توجه به بحث فوق، رابطه‌ی زیر به عنوان جایگزین رابطه‌ی ۳ پیشنهاد می‌شود:

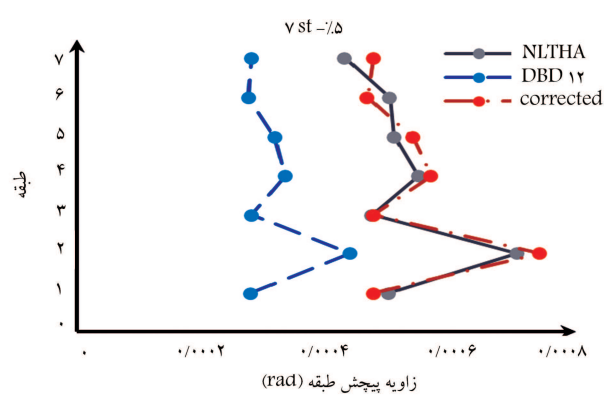
$$\theta_{Ni} = \frac{V_i \alpha_i e_R}{J_{R,\mu}} \quad (18)$$

که در آن  $\alpha_i$  ضریب تشدید خروج از مرکزیت در تراز  $i$  است که از رابطه‌ی ۱۹ به دست می‌آید:

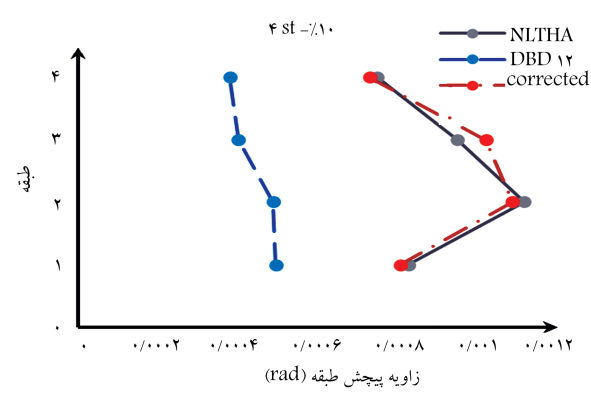
$$\alpha_i = \alpha X_i^r + b X_i^r + c X_i + d \quad (19)$$

که در آن ضرایب  $d - a$  مقادیر ثابتی هستند که باید با برازش به دست آیند. شکل ریاضی رابطه‌ی ۱۹ با سعی و خطأ به دست آمده است. همچنین  $X_i$  پارامتر بی‌بعدی است که طبق رابطه‌ی ۲۰ محاسبه می‌شود:

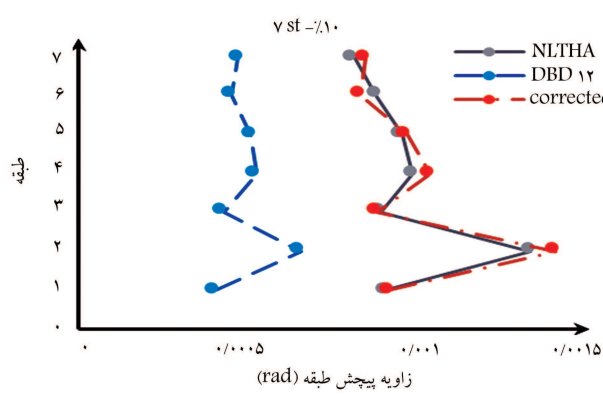
$$X_i = \frac{h_i N}{H} \frac{e_R}{b} \quad (20)$$



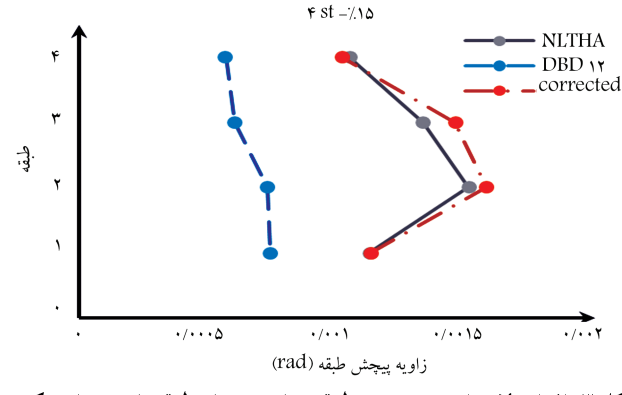
شکل ۶. اثر اصلاح زاویه‌ی پیچش طبقه؛ سازه‌ی ۷ طبقه با خروج از مرکزیت ۵٪.



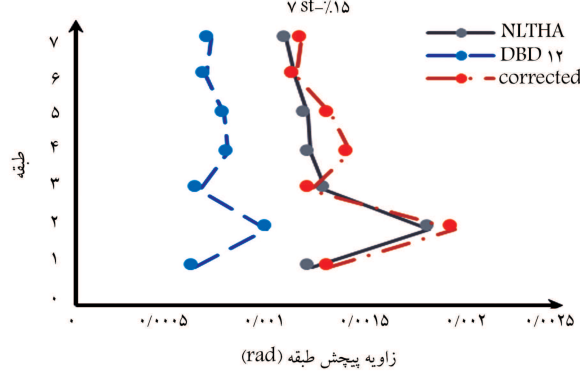
شکل ۷. اثر اصلاح زاویه‌ی پیچش طبقه؛ سازه‌ی ۴ طبقه با خروج از مرکزیت ۱۰٪.



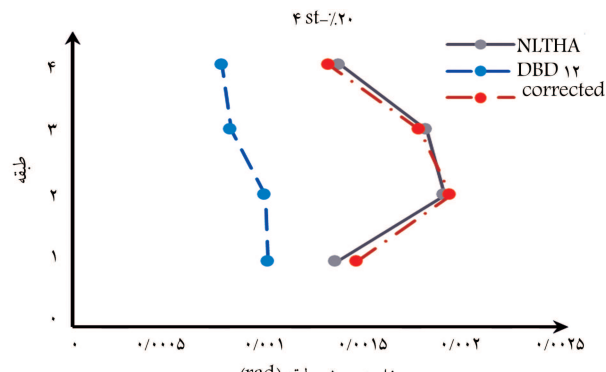
شکل ۸. اثر اصلاح زاویه‌ی پیچش طبقه؛ سازه‌ی ۷ طبقه با خروج از مرکزیت ۱۵٪.



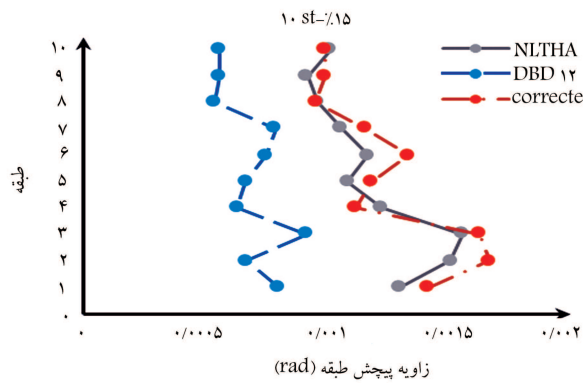
شکل ۹. اثر اصلاح زاویه‌ی پیچش طبقه؛ سازه‌ی ۴ طبقه با خروج از مرکزیت ۲۰٪.



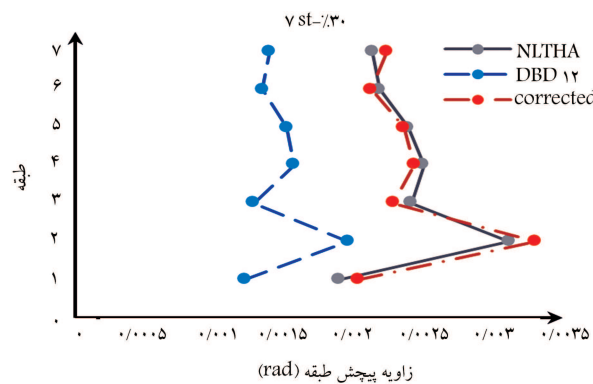
شکل ۱۰. اثر اصلاح زاویه‌ی پیچش طبقه؛ سازه‌ی ۷ طبقه با خروج از مرکزیت ۲۵٪.



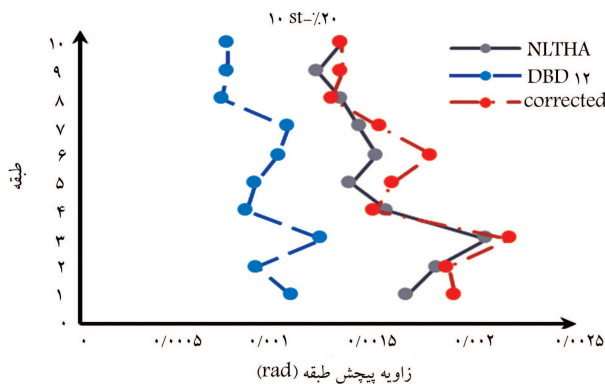
شکل ۱۱. اثر اصلاح زاویه‌ی پیچش طبقه؛ سازه‌ی ۴ طبقه با خروج از مرکزیت ۳۰٪.



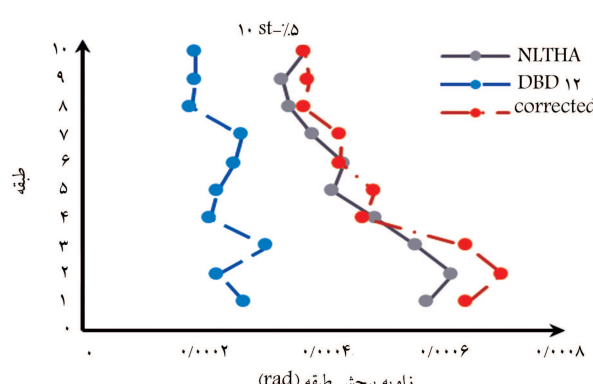
شکل ۱۳. اثر اصلاح زاویه‌ی پیچش طبقه؛ سازه‌ی ۱۰ طبقه با خروج از مرکزیت٪۱۵



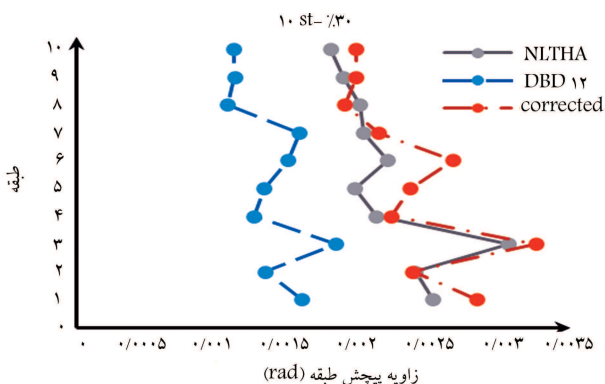
شکل ۱۵. اثر اصلاح زاویه‌ی پیچش طبقه؛ سازه‌ی ۷ طبقه با خروج از مرکزیت٪۳۰



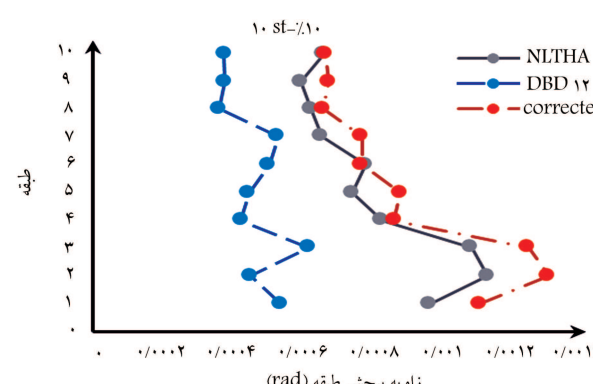
شکل ۱۴. اثر اصلاح زاویه‌ی پیچش طبقه؛ سازه‌ی ۱۰ طبقه با خروج از مرکزیت٪۲۰



شکل ۱۱. اثر اصلاح زاویه‌ی پیچش طبقه؛ سازه‌ی ۱۰ طبقه با خروج از مرکزیت٪۵



شکل ۱۵. اثر اصلاح زاویه‌ی پیچش طبقه؛ سازه‌ی ۱۰ طبقه با خروج از مرکزیت٪۳۰



شکل ۱۲. اثر اصلاح زاویه‌ی پیچش طبقه؛ سازه‌ی ۱۰ طبقه با خروج از مرکزیت٪۱۰

این اصلاحات شامل اثر تغییر شکل‌های غیرخطی در راستای مولفه ضعیف‌تر زلزله و ملاحظه کردن اثر تشدید خروج از مرکزیت در حین رفتار غیرخطی سازه بود. نمودارهای تغییرات زاویه‌ی پیچش طبقه نشان دادند که روش پیشنهادی به طور موافقیت آمیزی بیشینه‌ی زاویه‌ی پیچش طبقه را اصلاح کرده است. باید توجه داشت که روش پیشنهادی تنها برای سازه‌های قاب خمسی فولادی ویژه‌ی کوتاه و میان‌مرتبه تحت زلزله‌ی طرح (با دوره بارگشت ۴۷۵ ساله) روی خاک نوع سه در مناطق با زلزله‌خیزی شدید ارزیابی شده است. قبل از تحقیقات بیشتر، نتایج مقاله فقط در همین چارچوب قابل کاربرد خواهند بود.

## ۶. نتیجه‌گیری

در این مقاله، روند طراحی مبتنی بر تغییر مکان برای سازه‌های پیچشی با سیستم پاره‌جانشی قاب خمسی بررسی شد و با تحلیل دقیق به روش دینامیکی غیرخطی نشان داده شد که با روند آینه‌نمایی، تحلیل سازه و محاسبه‌ی زاویه‌ی پیچش طبقه خطای زیادی خواهد داشت. سپس بر اساس نتایج دقیق و با لحاظ کردن رفتار فیزیکی سیستم، رابطه‌ی محاسبه‌ی پیچش در دو مرحله مورد اصلاح قرار گرفت.

## پابوشت

- displacement based design

## منابع (References)

- Shibata, A. and Sozen, M.A. "Substitute-structure method for seismic design in R/C", *Journal of the Structural Division, ASCE*, **102**(1), pp.1-18 (1976).
- Gulkan, P. and Sozen, M. "Inelastic response of reinforced concrete structures to earthquake motions", *ACI J*, **71**(12), pp. 604-610 (1974).
- Kowalsky, M.J., Priestly, M.J.N. and MacRae, G.A. "Displacement-based design a methodology for seismic design applied to single degree of freedom reinforced concrete structures", Report No. SSRP-94/16, Structural System Research, University of California, San Diego (1994).
- Priestley, M.J.N. and Kowalsky, M.J. "Direct displacement-based seismic design of concrete buildings", *Bull NZSEE*, **33**(4), pp. 421-444 (2000).
- Medhekar, M.S. and Kennedy, D.J.L. "Displacement-based seismic design of buildings-theory", *Engineering Structures*, **22**(3), pp. 201-209 (2000).
- Medhekar, M.S. and Kennedy, D.J.L. "Displacement-based seismic design of buildings-application", *Engineering Structures*, **22**(3), pp. 210-221 (2000).
- Chopra, A.K. and Goel, R.K. "Direct displacement based design: use of inelastic vs. elastic design spectra", *Earthquake Spectra*, **17**(1), pp. 47-64 (2001).
- Xue, Q. and Chen, C.C. "Performance-based seismic design of structures: a direct displacement-based approach", *Engineering Structures*, **25**(14), pp. 1803-1813 (2003).
- Xue, Q. "A direct displacement-based seismic design procedure of inelastic structures", *Engineering Structures*, **23**(11), pp. 1453-1460 (2001).
- Borzi, B., Calvi, G.M., Elnashai, A.S. and et al. "Inelastic spectra for displacement-based seismic design", *Soil Dynamics and Earthquake Engineering*, **21**(1), pp. 47-61 (2001).
- Ataur Rahman, M. and Sri Sritharan. "An evaluation of force-based design vs. direct displacement-based design of jointed precast post-tension wall systems", *Earthquake Engineering and Engineering Vibration*, **5**(2), pp. 285-296 (2006).
- Gilmore, A.T. and Garcia, J.R. "Comparative seismic performance of steel frames retrofitted with buckling-restrained braces through the application of force-based and displacement-based approaches", *Soil Dynamics and Earthquake Engineering*, **31**(3), pp. 478-490 (2011).
- Vidot-Vega, A.L. and Kowalsky, M.J. "Drift, strain limits and ductility demands for RC moment frames designed with displacement-based and force-based design methods", *Engineering Structures*, **51**, pp. 128-140 (2013).
- Xue, Q. and Wu, C.W. "Preliminary detailing for displacement-based seismic design of buildings", *Engineering Structures*, **28**(3), pp. 431-440 (2006).
- Boulaouad, A. and Amour, A. "A displacement-based seismic design for reinforced concrete structures", *KSCE Journal of Civil Engineering*, **15**(3), pp. 507-516 (2011).
- Malekpour, S., Ghaffarzadeh, H. and Dashti, F. "Direct displacement based design of regular steel moment resisting frames", *Procedia Engineering*, **14**, pp. 3354-3361 (2011).
- Malekpour, S. and Dashti, F. "Application of the direct displacement based design methodology for different types of RC structural systems", *International Journal of Concrete Structures and Materials*, **7**(2), pp. 135-153 (2013).
- Sullivan, T.J. "Direct displacement-based seismic design of steel eccentrically braced frame structures", *Bull Earthquake Eng*, **11**, pp. 2197-2231 (2013).
- Priestley, M.J.N., Calvi, G.M. and Kowalsky, M.J. "Displacement based seismic design of structures", IUSS Press, Pavia, Italy, 721 pp (2007).
- Sullivan, T.J., Priestley, M.J.N., Calvi, G.M. (Eds.). "DBD09: a model code for the displacement-based seismic design of structures", IUSS Press (2009).
- Sullivan, T.J., Priestley, M.J.N., Calvi, G.M. (Eds.). "DBD12: a model code for the displacement-based seismic design of structures", First Revised Version of DBD09, IUSS Press (2012).
- Paulay, T. "Displacement-based design approach to earthquake-induced torsion in ductile buildings", *Engineering Structures*, **19**(9), pp. 699-707 (1997).
- Mazza, F. "Displacement-based seismic design of hysteretic damped braces for retrofitting in-plan irregular RC framed structures", *Soil Dynamics and Earthquake Engineering*, **66**, pp. 231-240 (2015).
- Mazza, F., Mazza, M. and Vulcano, A. "Displacement-based seismic design of hysteretic damped braces for retrofitting in- elevation irregular RC framed structures", *Soil Dynamics and Earthquake Engineering*, **69**, pp. 115-124 (2015).
- Standard 2800-05., *Iranian code of practice for seismic resistant design of buildings*, The Fourth Revision, Building and Housing Research Center, Tehran (2015).
- ASCE/SEI 7-16., *Minimum Design Loads and Associated Criteria for Buildings and Other Structures*, American Society of Civil Engineers, Reston, Virginia (2016).
- PEER. "Pacific earthquake engineering research center, berkeley, California", Internet address: <http://peer.berkeley.edu> (2017).